

## 試作 LISP マシンの機能について

小林 康博 三上 昭弘 高岸 英之 金田 悠紀夫 前川 穎男  
神戸大学工学部システム工学科

### 1. はじめに

LISP 言語の普及に伴い、その実行速度の向上等の要求から、ソフトウェアの要請を極力ファームウェア（ハードウェア化）した LISP 处理専用システムの開発が進められている。<sup>[8]-[11]</sup> われわれの試作した LISP マシンは、市販の LS1 を利用し、インターフリタの全てをマイクロプログラム化し、LISP 言語処理のための機能をハードウェア化したもので、きわめて高速に LISP 言語を処理することが可能である。<sup>[1]-[4]</sup> 本報告は、試作した LISP マシンシステムの概要を述べるとともに、ユーザに提供するソフトウェア、及びその機能（インターフリタ、コンパイラ、組込み関数）について述べる。

### 2. LISP マシンシステムの概要

#### 2.1 LISP マシンシステムの構成

試作した LISP システムのハードウェア構成を図 1 に示す。LISP プログラム処理の中心となるプロセッサモジュールとメモリモジュールをミニコンピュータ（DEC 社 LS1-11）のバスに接続した構成である。LS1-11 はパラレルインターフェイスを通じて、マイクロコンピュータ PDC-80 と中型計算機システム（FACOM 230-38）にも接続されており、PDC-80 に接続された入出力機器を利用することが可能である。メモリモジュールは、32 ビット × 64 K 語から構成され、アクセスタイムは約 375 nsec である。プロセッサモジュールは、処理幅が 16 ビット、アドレス空間も 16 ビットであり、メモリとのデータ転送は、16 ビットはもちろん、32 ビット幅で car 部、cdr 部を同時に読み書きすることも可能である。

#### 2.2 LISP プロセッサモジュールの構成

プロセッサモジュールのハードウェア構成を図 2 に示す。ビットスライスプロセッサエレメントとして 4 ビットスライスである Am2903 (Advanced Micro Device 社) を 4 個使用している。このプロセッサモジュールは、ハードウェアスタック、フィールド抽出回路、マッピングメモリ回路、豊富な条件テスト回路 N I L レジスタ、ビットアドレッシング回路等を有している。また制御部を構成する CCU は、Am2910 マイクロプログラムシーケンサ、WCS (56 ビット × 4 K 語)、PL (パイプラインレジスタ)、CMR、フラグレジスタから成り立っている。マイクロ命令サイクルは 300 n sec を基本とし、命令コードは 1 語 56 ビットで、ALU まわりと CCU の制御とを並列に行える。

#### 2.3 LISP 言語処理向きのハードウェア

以下に示すものが LISP 言語を高速に処理するのに役立っている。<sup>[1]-[3]</sup>

- (1) ハードウェアスタックとバス構成 : 70 n sec の高速ハードウェアスタックの実装により、スタック上のデータを高速にアクセスすることが可能になる。また、ALU 演算後のマイクロ命令アドレスへジャンプすることもでき、スタッ

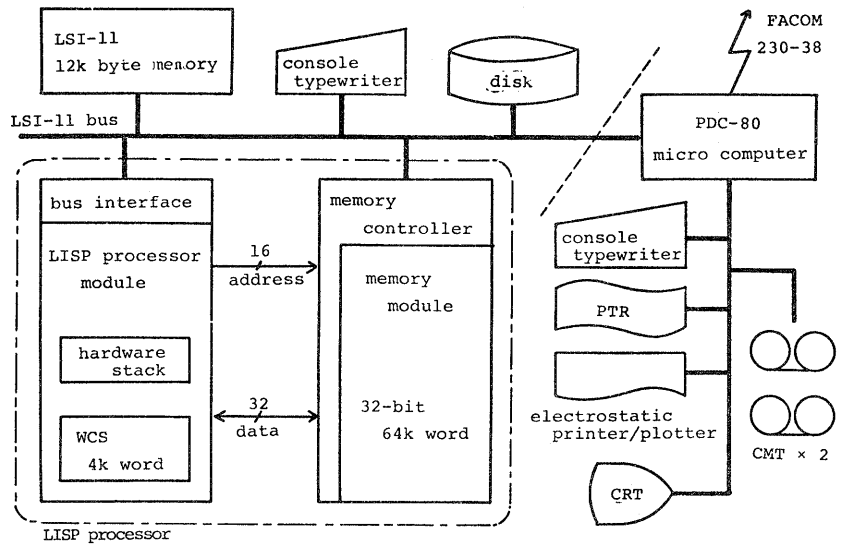


図1. LISPマシンシステムのハードウェア構成

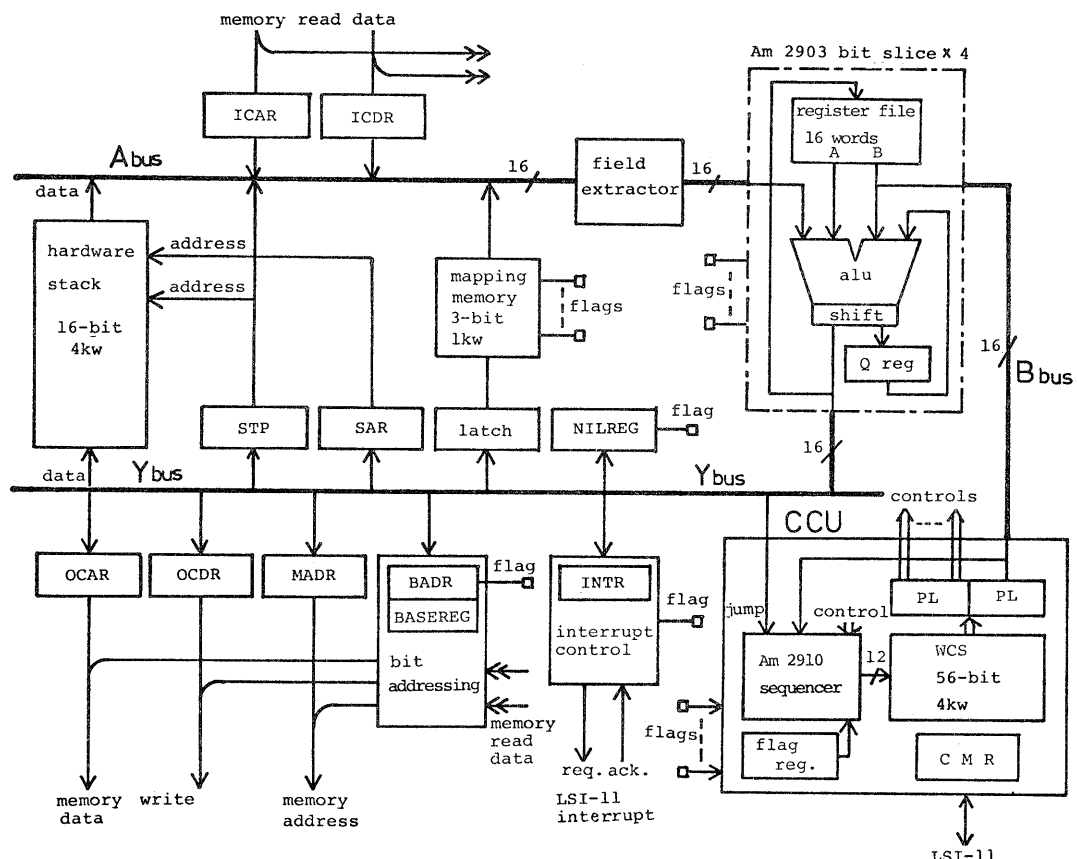


図2. プロセッサモジュールのハードウェア構成

ク上に積んでおいた戻り番地へジャンプすることも可能である。このため、マイクロプログラムレベルでの再帰呼出しが可能となり、主記憶の参照回数を大幅に減らすことができた。

(2) データ型の高速判定： 実行中にデータ型を判定する機会は多く、本システムでは主記憶のアドレスとマッピングメモリの内容により自動的にデータ型を判定することができる。このデータ型の結果はフラグレジスタにもセットされ、このフラグを用いてデータ型に対する条件ジャンプが1ステップで行える。

(3) 演算部と制御部の並列処理： WCSの命令コードを56ビットと幅広く取ったため、ALUまわりと条件ジャンプヒトを並列に処理できる。このためマイクロプログラムにおけるジャンプ命令に要する時間は0と考えることができる。

(4) メモリの分散によるアクセス回数の低減： 本システムではメモリ空間をスタッフ、主記憶、WCS、ALU内のレジスタファイルと分散させたため、これらのメモリ内容を同時に利用することが可能である。

(5) その他： NILの一致検出を行うNILレジスタ、データのシフトとマスキングを行なうフィールド抽出回路等の使用により、実行ステップ数を減少させることができた。

### 3. LISPマシンシステムのソフトウェア構成

本システムのソフトウェアを大別すると2つに分けることができる。第1は、FACOM 230-38上に構成されたマイクロアセンブラーと、そこで発生したマイクロコードをPDC-80に接続されたカセットMT装置、およびLSI-11に接続されたフロッピーディスクまで転送するオンラインソフトウェアである。第2がしLISPプログラムの実行時に働くソフトウェア群であり、本システムの中心をなすものである。これらの構成を図3(a),(b)に示しておく。本システムのマイクロアセンブラーは、FORTRAN言語で記述されており、約1300ステップのサイズのものである。このマイクロアセンブラーはWCSレベルのみならず、組込み関数用のアトムヘッダ、フルワードデータ、マッピングメモリコード、システム制御用パラメータの初期値設定等のコード発生を行っているため、他のマイクロアセンブラーよりも多くの機能を必要とする。第2のソフトウェア群は、インターフリタやコンパイラ等のLISPプログラムを処理するためのソフトウェアと、LISPモニタやLSI-11のOSであるRT-11等のLISPシステムを管理するソフトウェアから成り立っている。

### 4. LSI-11のソフトウェアについて

LSI-11のソフトウェアは、LISPプログラムの実行を管理するLISPモニタとLSI-11自身のOSであるRT-11モニタから成る。LISPモニタはこのRT-11のサブシステムとして構成されており、ユーザーはRT-11を通じて、LISPモニタやLISPプログラムを作成するためのTEXT-EDITORを呼出した後しながらLISPシステムと会話的に処理を行っていく。

LISPモニタの機能を大別すると次のようになる。

- (i) LISPプログラムの実行開始、停止、終了の管理
- (ii) インターフリタからの要求による入出力処理、タイマ制御処理
- (iii) マイクロプログラムのデバッグ機能

(i)については、以前のプログラムの実行により使用されたアトムヘッダ領域、フルワード領域等の初期化、コンパイラの呼び出し、既存のLISPプログラムの実行、等のLISPプロセッサへ起動をかけるコマンドの管理、またプロセッサが起動されたものの、プログラムの停止、終了のコマンドの管理を行う。(ii)については、LISPマシンからの割込み要求を処理するもので、その割込み処理は、(1)入出力処理 (2)タイマ制御 (3)メッセージ出力処理 の3つに分れる。入出力処理においては、LISP言語の入出力関数の中のアトムアナライザの部分を担当している。つまり、アトムヘッダ、ストリングヘッダの作成、および、デリミッタ、ASCIIコード等の内部コードへの変換を行うものであり、二進木リストへの変換はLISPマシン側で行っている。またそれらに付随する入出力機器の制御も行っており、特にファイルに対しては、ファイル名で表わされる論理チャネルからの物理チャネルへの変換等を行っている。タイマ制御は、GC、READ、PRINT等の関数の実行時間、及びトップレベルの実行時間を計測するものである。(iii)のデバッグ機能は、本システムのインターフリタがマイクロプログラムで記述されているため、マイクロプログラムのデバッグを行う際、LISPプロセッサ側にデバッグ機能を盛り込む事が困難であるため、LSI-11上に構成されたものである。これらの機能を列挙してみると、

- (a) WCS、マッピングメモリ、主記憶の各メモリセルの読み書き
- (b) CMR (コマンドレジスタ) の読み書き
- (c) マイクロプログラムの1ステップ実行
- (d) ブレイフポイント設定による任意アドレスでの実行停止、及び再設定と再実行
- (e) マイクロプログラム実行総ステップ数の計数

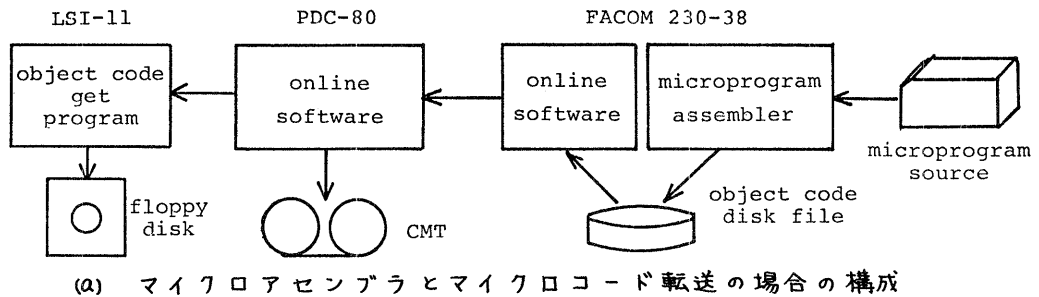
となる。(a)の機能により、マイクロプログラムコードの修正、追加が速やかに行え、また(d)の機能により、任意のアドレスでマイクロプログラムの実行を停止でき、その時のメモリ内容等を知ることができる。またその時のプロセッサモジュール内のレジスタの内容は、メインテナンスパネル側から知ることができます。

## 5. インターフリタと組込み関数について

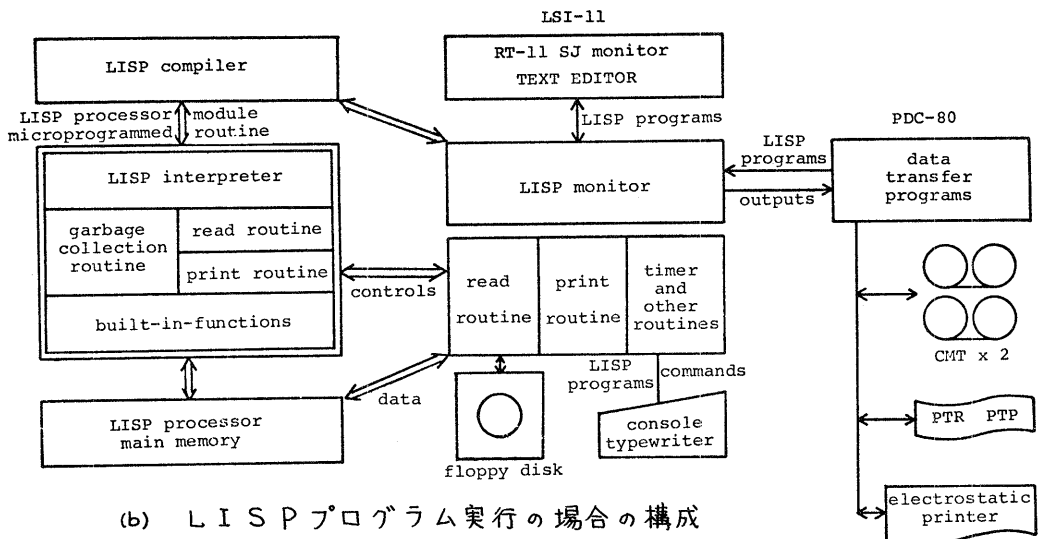
### 5.1 LISP言語の仕様

本システムで現在用意しているデータ型としては、小整数、整数、ストリング文字アトム、リスト要素の五種類がある。これらの表現を図4に示す。文字アトムは連続した領域に情報を置くことにより、属性のチェック、属性値の取り出しを容易にした。また、変数値の結合には shallow-binding を採用し、変数値の取り出しを高速に行っている。ストリングに対しては、先頭の文字位置をデータに含め、不要なフルワード領域の消費をおさえている。また、図5のようにも主記憶上の領域をデータ型によって分割し、マッピングメモリ回路により、高速に型判別を行っている。

関数型としては、EXPR、FEXPRとして、システム関数用として、マイクロコードで記述されたMSUBR、MRSUBR、MRFSUBRを用意した。MSUBRは、マイクロサブルーチンとして記述されたもので、再帰呼出しは許されない。SUBR、FSUBRはEXPR、FEXPRをコンパイルしたもので、中間言語命令で記述される。



(a) マイクロアセンブラーとマイクロコード転送の場合の構成

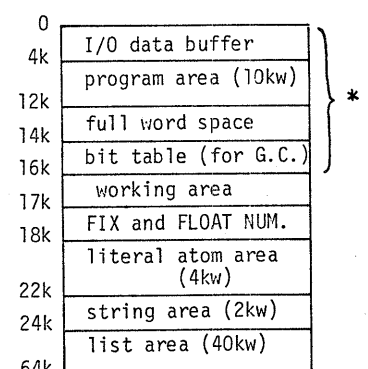


(b) LISPプログラム実行の場合の構成

図3. LISPマシンシステムのリフトウェア構成

データ型	語数	表 現			
小整数	0	ポインタの値自身 $-8192 \leq n \leq 8191$			
整数	1	31 0 2の補数表現で整数エリアに格納			
文字アトム	4	31 16 15 12 11 0 関数本体 属性 属性別飛び先 flag 引数個数 top-level-value property-list print-name go-label-value print-name-hash			
		31 16 15 0 cdr car			
		1 full word^のpointer 位置 文字数			

図4. データ型とその表現



\* 小整数に対応

図5. メモリ割当て

各関数型に対し、主な関数を次に示す。ユーザはこれらの関数型を意識しないで利用できる。

```
MSUBR : CAR, CDR, CONS, EQ, NULL, ATOM, ADD1, etc.  
MRSUBR : EVAL, APPLY, EVLIS, EQUAL, MAPCON, etc.  
MRFSUBR : COND, PROG, AND, OR, LIST, DE, SETQ, etc.
```

## 5. 2 インタープリタについて

本システムのEVAL, APPLYの外部仕様は shallow-binding を採用していることを除き、ほぼ LISP 1.5と同じである。関数評価を行う際、関数の実行に先立ち、スタック上に frame が作られる。この frame の構造を図 6 に示す。frame-head には関数本体へのポインタ、PC、MPC を保存する領域、及び 1つ前の frame-head を指すポインタ (FP) が含まれる。frame-head の上に関数への実引数が積まれ、関数本体の実行に移る。評価が終ると RETURN オペレーションにより、スタックトップの値を現 FP 値にセットし、呼び出し元へ制御が移る。

インタープリタの内部仕様は、次の各点に注意して、高速処理を目指している。

- (1) 引数評価ルーチン (ARGEVL) の作成
- (2) EVLIS を使用しないで、直接スタック上に実引数を積み上げる。
- (3) EVAL やCOND の frame は、APPLY 等の frame に転用することにより、むだな frame の作成をおさえる。
- (4) if - then - else 型のジャンプを用いず、データ型に対するマッピングコードを用いたマルチウェイジャンプを使用する。
- (5) フラグレジスタにより、データ型の判別、NIL の検出を速やかに行う。
- (6) プリミティブな関数は MSUBR 型で記述し、他の関数でも直接これを用いる。
- (7) NIL、T 専用の RETURN オペレーションを作成する。

上記のように構成したインターパリタに対し、第二回 LISP コンテストに出題されたプログラムを用いて、本システムにおける実行時間を測定した。その結果を表 1 に示す。他の処理系の実行時間、及び表記法は文献 [5] にしたがう。

比較の対象として選んだ他の処理系の特徴を以下に簡単にまとめてみると、

- (i) HLISP : HITAC-8800 上に構成されたシステムで、サイクルタイムが 50 n sec、アクセスタイムが 100 n sec の超大型計算機システムである。
- (ii) OLISP : ACOS-800 上に構成されたシステムである。
- (iii) TOSBAC-5600 LISP 1.9 : TSS 向きの LISP システムであり、ACOS シリーズの計算機に移植可能である。
- (iv) LIPQ : PDP 11/55 上に構成されたシステムで、サイクルタイムは、300 m sec であり、本システムとほぼ同じ規模のシステムである。

表 1 より、本システムにおける実行速度は他のどの大型計算機よりも短いことがわかる。本システムのサイクルタイムが 300 n sec であるから、HLISP と

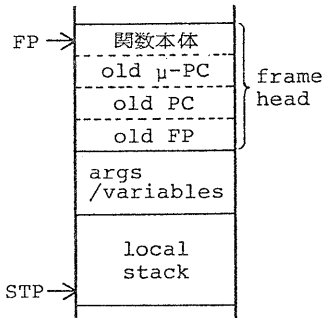


図 6. frame の構造

## -----INTERPRETER-----

## -----COMPILER-----

	FAST-LISP KOBE UNIV.	HLISP	OLISP LISP1.9	TOSBAC-5600 LISP1.9	LIPQ	FAST-LISP KOBE UNIV.	HLISP	OLISP LISP1.9	TOSBAC-5600 LISP1.9	LIPQ
BITA-4	6	6	14	24	*	90	*	2	4	18
BITA-5	17	22	46	76	300	*	9	15	22	63
BITA-6	55	71	155	249	1,010	*	27	50	71	219
BITA-7	188	249	531	936	3,460	*	92	103+	176	775
BITA-8	652	869	1,849	2,925	---	*	320	377++	622	---
BITA-9	STACK OVER	3,111+	6,498+	15,236++	---	*	1,128	1,359++	2,229	2,705
BITB-4	3	6	5	11	45	*	3	1	4	9
BITB-5	6	14	13	23	104	*	6	3	6	25+
BITB-6	13	40	34	59	282	*	13	10++	9	75+
BITB-7	37	118+	104	172	870	*	28	33	28	258+
BITB-8	120	394+	338	549	3,070+	*	88	105++	91	1,080++
BITB-9	397	1,318+	1,130	1,832	---	*	292	356++	307	---
BITB-10	1,355(+)	4,542++	---	---	---	*	1,000	1,230++	---	---
SORT-20	73	106	287	505	1,400	*	26	12	18	31
SORT-40	261	374	1,109	1,415	4,900	*	94	43	69	108
SORT-60	415	5--	2,459	2,061	7,800	*	150	---	153	140++
SORT-80	626	568	4,337	3,121	11,900	*	225	65	271	487+
SORT-100	804	1,134	6,753	6,154	15,000	*	290	135	423	605+
^										
TARAI-3	55	78	197	227	900	*	26	17	36	87
TARAI-4	1,013	1,443	3,727	5,124	16,000	*	473	330	670	1,064
TARAI-5	27,538	39,068	100,734	138,819	437,000	*	12,849	8,905	18,934	43,609
TARAI-6	1,011,732	---	---	---	472,063	*	322,347	---	1,603,910	255,000
▽										
TPU-1	904	4,790	2,262	4,403+	12,000+	*	601	1,029	658	1,591
TPU-2	3,426	13,411	10,262	21,148++	55,200+	*	1,957	2,871+	2,064	2,200+
TPU-3	1,365	5,684	3,932	7,447+	21,200++	*	805	1,227++	850	6,764+
TPU-4	1,815	8,024	5,042	10,958+	27,400++	*	1,096	1,707	1,161	2,798+
TPU-5	238	866	759	1,461	4,000++	*	125	181	132	3,250+
TPU-6	6,728(+)	22,849	20,241	66,502++	118,000++	*	3,590(+)	4,893+	3,617	400
TPU-7	1,311	5,078	4,179	8,350+	21,800++	*	710	1,053	776	27,049++
TPU-8	1,87	3,459	3,987	5,459+	21,000++	*	582	724+	596	10,500+
TPU-9	819	2,663	2,716	4,133+	14,200++	*	411	545	424	2,300+
PLISP-3	7,717	3,096	46,061	49,125	---	*	2,934	303	1,876	2,933
PLISP-3	163	132	575	871	2,150	*	163	132	575	2,240
RATIO	47.3	23.5	80.1	56.4	---	*	18.0	2.3	3.26	2,150
PLISP-4	170,471(+)	56,877	1,096,786	1,118,014	44,000	*	65,356(+)	4,998	44,910	1,04
PLISP-4	3,059(+)	2,020	11,384	18,119	61,7	---	3,059(+)	2,020	11,384	48,500
RATIO	55.7	28.1	96.3	---	---	*	21.4	2.5	3.95	44,000
PLISP-5	STACK OVER	---	---	503,999	1,249,000	*	2,107,056(+)	125,290	---	3.7
PLISP-5	83,321	46,431	---	---	---	*	83,321	46,431	---	1,1
RATIO	---	---	---	---	---	*	25.3	2.7	4.0	---

^▽

表 1. LISP コンテストのアローラムの実行時間 (m sec)

単純に比べると6倍遅いことになるが、これはハードウェア、ソフトウェア両面での改良の効果が十分に現われたためと考えられる。

### 5.3 組込み関数について

現在、本システムに組込まれている関数の総数は74種であり、主としてリストを処理する関数群と入出力関数から構成されている。数値演算関数としては、整数の四則演算を行うものだけであり、まだ floating の導入は行われていない。ストリング処理関数は現在作成中である。以上で述べてきたマイクロプログラムによるソフトウェアのサイズはおおよそ次に示すとおりである。

マイクロプログラム : 1962 総ステップ

インタープリタ - 573 ステップ 入出力関数群 - 217 ステップ

ガーベージコレクション - 122 ステップ 組込み関数群 - 801 ステップ

以上のようにインターパリタの総ステップ数がかなり小さいことも、本システムの特徴である。

### 6. コンパイラについて

#### 6.1 中間言語命令

本システムは本質的に機械語命令を持たない。そのため機械語命令に対応した中間言語命令を設定し、それをオブジェクトコードとして生成するコンパイラを構成した。オブジェクトコードは1中間言語命令に対し、32ビットの命令コードに変換され、主記憶内のプログラム領域にロードされる。コンパイルされた関数の実行時には、マイクロプログラムで記述された命令フェッチ部と命令実行部により、命令コードが順にフェッチされ、実行される。

これら中間言語命令の設定の際、命令コードの小型化を考えず、高度な並列処理やパイプライン処理が損われない事に留意し、次の

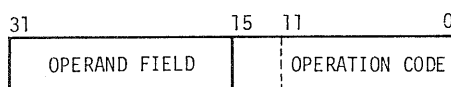


図7. 命令コード

ような命令体系を考案した。

- (1) CALL : オペランドで示された関数を、その属性に応じた実行の予備操作を行い、その後関数を呼び出す命令である。
- (2) PSH : データをスタックトップに積み上げる命令である。データとしては、(i) 実行する関数の実引数、(ii) 自由変数、(iii) データそのものの、の3種類が指定でき、以下においても同様である。
- (3) POP, STORE : スタックトップの内容をオペランドで示されるフィールドにコピーする命令で、POPはスタックポインタを1つPOP-UPする。
- (4) MKFRM : 関数の実行に先立ち、frame-headを作る命令で、オペランドの指定があると PSH命令もかねる。
- (5) JMP : 条件により、label先へ分岐する命令であり、スタックポインタのPOP-UPも指定できる。条件としては、(i) 無条件分岐、(ii) NILE分岐、(iii) T分岐、の3種類が指定できる。
- (6) RETURN : スタックトップの内容を関数の評価結果として、現FP値にセットし、frameを消滅させ、呼出し元へリターンする命令である。
- (7) SHALLOW : コンパイル時に自由変数が宣言されていると、その自由変数が束縛を受けた際に、shallow-bindingを行う命令である。

## 6.2 コンパイラの構造と実行時間

本システムのコンパイラはマイクロプログラム、中間言語命令では記述されておらず、LISP言語で記述された1種のEXPR関数である。このコンパイラは、インターフリタからも、LISPモニタからも実行が可能である。ユーザはこのコンパイラを使用する際、関数の中での自由変数、関数の属性等を宣言しなければならない。またオブジェクトコードをプログラム領域へロードする関数(LAP)をマイクロプログラムで構成しているため、(i) オブジェクトコードの生成、(ii) コンパイル後即実行、の2種のコンパイル条件を指定する事ができる。

このコンパイラは73の関数から構成されており、約4K語を使用するものである。このうち分けは、コンパイル処理に18関数、FSUBR処理に9関数、オブジェクトコード発生に20関数、その他の処理に26関数を使用している。

EXPR関数をコンパイルする事で実行速度を改善できる点は、

- (1) 仮引数をローカルスタックのロケーションに割り当てる事により、重複して行われる引数評価、及び変数と変数値のbind処理を行わなくてよいこと。
  - (2) 再帰呼出しを行わない関数群(MSUBR)については、frameを作らなくてよい。また、リターン処理も省略できる。
  - (3) COND, PROG, AND, SETQ 等のFSUBR関数群は引数の評価手順を示したものなので、中間言語命令列に簡単にオープンに展開する事が可能である。
- (1)については、EXPR関数を評価する際、変数値のbindingのため、EVALからAPPLYを呼び、bindingを行い、さらにEVALを呼び出す手順が必要であるが、SUBR関数では、変数がスタックのロケーションとして表わされるため、そのロケーションをアクセスするだけで済み、大幅な処理ステップの短縮が可能になる。

(2), (3)より、関数呼出しのためのframeの作成、RETURN処理、連続したEVALの呼出し手続き等の省略が可能となる。上記の3点によるだけでも総実行ステップ数の50%以上の短縮が可能である。図8に関数定義体とそのコンパイルしたオブジェクトの例を示しておく。またインターフリタと同様にLISPコンテストのプログラムをコンパイルした場合の実行時間を表1に示しておく。

表1において、インターフリタとコンパイラの場合を比較してみると、他のシステムでは、5~100倍の短縮が可能であるが、本システムではコンパイルしても2~3倍程度の短縮しか得られていない。(ちなみにTARAI-3を組込み関数、EXPR, SUBRとした場合の実行時間はそれぞれ、14 m sec, 55 m sec, 26 m secである)これはインターフリタが高速に動作しているためと考え

```
(DE TARAI (X Y Z)
  (COND ((GREATERP X Y)
         (TARAI (TARAI (SUB1 X) Y Z)
                 (TARAI (SUB1 Y) Z X)
                 (TARAI (SUB1 Z) X Y) )))
        (T Y) ))
```

```
(LAP TARAI SUBR 3
  (MKFRM 1 -6)
  (PSHARG -6)
  (RCALL GREATERP)
  (JMPOPNIL G0)
  (MKFRM 3 -14)
  (RCALL SUB1)
  (PSHARG -10)
  (PSHARG -10)
  (SCALL TARAI)
  (MKFRM 2 -14)
  (RCALL SUB1)
  (PSHARG -10)
  (PSHARG -13)
  (SCALL TARAI)
  (MKFRM 2 -14)
  (RCALL SUB1)
  (PSHARG -13)
  (PSHARG -13)
  (SCALL TARAI)
  (SCALL TARAI)
  (RETURN)
  G0 (PSHARG -2)
  (RETURN))
```

図8. 関数定義体と  
そのコンパイル例

られるが、中間言語命令のフェッチ、及び"デコード"部をマイクロプログラムで構成した事によるオーバヘッド、特にフェッチによるオーバヘッドが大きいためと考えられる。そこで、このフェッチをハードウェアで構成することを考えると、現在の実行時間の10~30%の短縮が可能と思われるが、実装上の問題もあり、この早急な実現は難しいと思われる。ユーザは、メモリセルの節約、ガーベージコレクションの発生を防ぐことを望む場合、コンパイラを利用するのがよさそう。

## 7. 今後の応用について

本システムは昨年の1月にハードウェアヒンタープリタが完成し、約一年が経過した現在、ソフトウェアの開発がほぼ完了しようとしている。しかし、まだ完成されたものではないため、特定のユーザを有していない。完成後の本システムの応用としては、数式処理、物体認識、画像処理等の分野での使用、また、MILISY、REDUCE等の応用プログラムの稼動、等が考えられる。ただ、本システムにおける使用可能なリスト要素が40K語であるため、この範囲内での使用に限定される。これからも、LISP言語の使用はますます、人工知能の分野を中心にひろく普及してゆくであろうから、多種多様の応用が可能であろう。

## 参考文献

- [1] 龍、金田、前川：LISPマシンの試作 - アーキテクチャとLISP言語の仕様 -、情報処理学会論文誌、Vol. 20、No. 6、(Nov. 1979).
- [2] 龍、金田、前川：LISPマシンの試作 - インタープリタの構造とシステムの評価 -、情報処理学会論文誌、Vol. 20、No. 6、(Nov. 1979).
- [3] 龍、小林、金田、他：試作LISPマシンとその評価、情報処理学会研究会資料、記号処理7-3、(Mar. 1979).
- [4] Y.KANEDA,K.TAKI: The Experimental LISP Machine, IJCAI proceedings, (Aug. 1979).
- [5] 竹内：第2回LISPコンテスト、情報処理、Vol. 20、No. 3、1979
- [6] 山口、島田：仮想計算機によるLISPプログラムの動的特性、信学論文誌D、J 61-D、8 (Aug. 1978).
- [7] 黒川：LISPのデータ表現、情報処理、Vol. 17、No. 2、1976.
- [8] 長尾、中村、他：LISPマシンNK3のアーキテクチャとそのマイクロインストラクション、信学研、EC-77-17、(1977).
- [9] J.Allen: Anatomy of LISP, McGrawHill, 1978.
- [10] W.Teitelman: INTERLISP Reference Manual, Xerox, (Feb. 1974).
- [11] LISP User's Manual, EPICS-5-on-4, (Mar. 1978).